



IRANIAN SOCIETY of  
CRYSTALLOGRAPHY  
and MINERALOGY

IRANIAN JOURNAL of  
CRYSTALLOGRAPHY  
and MINERALOGY

No. 2, 1386/2007 Fall & Winter

## Influence of $WO_3$ and $MnO_2$ on the Bi-2223 high temperature superconductors, prepared by sol-gel technique

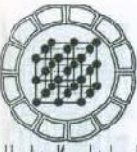
N. Tajabor, M. R. Alinejad, N. Yussefi

Dept. of physics, Ferdowsi Univ. of Mashhad, Mashhad, Iran  
E-mail: [alinejad@ferdowsi.um.ac.ir](mailto:alinejad@ferdowsi.um.ac.ir)

(Received:13/10/2006, received in revised form:2/6/2007)

**Abstract:** The  $Bi_{1.7}Sb_{0.3}Sr_{1.97}Ca_{2.03}Cu_{3.1}O_y$  superconductors are prepared by sol-gel method and the effect of  $WO_3$  and  $MnO_2$  additives on their properties are studied. Structural studies show that the find samples are homogeneous and are mainly composed of 2223 and lower percents of 2212 phases. Analysis of the X-ray diffraction patterns indicate that the penetration of  $W^{6+}$  ions into superconducting phase considerably increases for more than 2 wt% additives. Also, the penetrating  $W^{6+}$  ions preferentially occupy 4e and 2a crystallographic sites of Cu atoms. The electrical measurements show that the best superconducting properties obtain for the sample with 1 wt% of  $WO_3$  additive, while superconductivity is weakened for higher amounts of  $WO_3$ . For the sample with 0.5 wt% of  $MnO_2$  additive, the best superconducting properties are obtained after sintering at 830 °C.

**Keywords:** superconductivity, sol-gel,  $Bi(Pb)SrCaCuO$ ,  $WO_3$ ,  $MnO_2$ .



انجمن پژوهش‌اسق و کانون شناسی ایران

شماره ۲، پاییز و زمستان ۸۶، از صفحه ۴۱۳ تا ۴۲۲

مجله  
بلورستانی  
و کانی‌ستانی  
ایران

## اثر $\text{WO}_2$ و $\text{MnO}_2$ بر ابررساناهای دمای بالای ۴۲۲۳- Bi تهیه شده به روش سل-ژل

ناصر تجیر، محمد رضا علی نژاد، نیما یوسفی

مشهد، میدان آزادی، پردیس دانشگاه فردوسی، دانشکده علوم پایه، گروه فیزیک  
پست الکترونیک: [alinejad@ferdowsi.um.ac.ir](mailto:alinejad@ferdowsi.um.ac.ir)

(دریافت مقاله ۱۳۸۵/۸/۲۲، دریافت نسخه نهایی ۱۳۸۶/۳/۱۲)

چکیده: ابرسانای  $\text{Bi}_{17}\text{Pb}_{17}\text{Sr}_{17}\text{Ca}_{17}\text{Cu}_{31}\text{O}_y$  به روش سل - ژل تهیه و اثر افزودن ذرات  $\text{MnO}_2$  و  $\text{WO}_3$  بر خواص آن بررسی شد. مطالعات ساختاری نشان می‌دهد که نمونه‌های نهایی دارای همگنی مناسب و بیشتر از فاز ۲۲۳ و با درصد کمتری از فاز ۲۲۱۲ تشکیل شده‌اند. مطالعه الگوهای پراش پرتو X نشان می‌دهد که نفوذ یونهای  $\text{W}^{6+}$  به درون فاز ابرسانا برای درصدهای وزنی بیش از ۲ به طور چشمگیری افزایش می‌یابد. علاوه، یونهای  $\text{W}^{6+}$  نفوذی، ترجیحاً جایگاههای شبکه‌ای ۴c و ۲a متعلق به یونهای Cu را اشغال می‌کنند. اندازه‌گیری‌های الکتریکی نشان می‌دهند که نمونه حاوی ۱ درصد وزنی  $\text{WO}_3$  بهترین خواص ابرسانایی را دارد و برای درصدهای بالاتر، ابرسانایی تضعیف می‌شود. بهترین خواص ابرسانایی برای نمونه حاوی ۰,۵ درصد  $\text{MnO}_2$  در دمای تفحوشی  $830^\circ\text{C}$  مشاهده شد.

واژه‌های کلیدی: ابر رسانایی، سل،  $MnO$ ،  $WO$ ،  $Bi(Pb)SrCaCuO$ ،  $\beta$ -

## مقدمه

از زمان کشف ابررساناهای دمای بالا در سال ۱۹۸۶ میلادی، کاربردهای متنوعی برای آنها در زمینه انتقال جریانهای الکتریکی شدید (مثل مولدها، مبدلها، رساناهای جریان و کابل‌های انتقال نیرو) و ذخیره انرژی مطرح شده است [۱]. یکی از مهمترین ویژگی‌های ابررساناهای دمای بالا چگالی جریان بحرانی آنهاست که افزایش آن، هزینه سردسازی تجهیزات ساخته شده از این مواد را کاهش می‌دهد. از این نظر، ترکیب  $(\text{Bi}_{1-x}\text{Pb}_x)_2\text{Sr}_2\text{Ca}_2\text{Cu}_3\text{O}_y$  مناسب‌ترین ابررسانای دمای بالاست که تاکنون شناخته شده است [۲ و ۳]. ولی آماده‌سازی ترکیب ۲۲۲۳ در صنعت تولید مواد دشوار است و خواص فیزیکی نمونه‌های تولید شده شدیداً به روش ساخت آنها بستگی دارد [۴ و ۵]. لذا، تحقیقات گستره‌های پیرامون روش تهیه پودر اولیه، برنامه گرمادهی و تنظیم ریزساختار ابررساناهای ۲۲۲۳ در حال انجام است [۶]. یکی از روش‌های موفق تهیه پودر اولیه ابررساناهای ۲۲۲۳، روش شیمیابی سل-ژل است. مزایای این روش نسبت به روش‌های دیگر (از جمله روش واکنش در فاز جامد) عبارتند از: (الف) توزیع همگن‌تر اجزا، (ب) واکنش پذیری بهتر مواد، (پ) پایینتر بودن دمای ساخت، (ت) چگالی جرمی بالاتر، و (ج) اندازه کوچکتر ذرات. مجموعه این عوامل، کیفیت تولید ترکیب ۲۲۲۳ را بهینه می‌سازد که از نظر صنعتی بسیار با اهمیت است [۷].

از طرفی، روش‌های زیادی برای بهبود خواص ابررسانایی ترکیبات بر پایه  $\text{Bi}$  دنبال شده است که ایجاد یک فاز ثانوی از جمله شناخته‌شده‌ترین آنهاست [۸ و ۹]. پیش از این اثر  $\text{WO}_2$  و  $\text{MnO}_2$  بر خواص ابررسانایی ترکیبهای ۲۲۱۲ که به روش‌های غیرشیمیابی تهیه شده‌اند گزارش شده است [۱۰ تا ۱۵]، ولی مطالعه اثر ذرات  $\text{WO}_2$  و  $\text{MnO}_2$  بر ابررساناهای ۲۲۲۳ که به روش شیمیابی تهیه شده باشند در مراجع دیده نمی‌شود. این در حالی است که با توجه به ریزساختار همگن و نسبتاً متفاوت نمونه‌های ساخته شده به روش شیمیابی سل-ژل، نتایج چنین مطالعه‌ای می‌تواند در بردارنده جنبه‌های فیزیکی و کاربردی تازه‌ای باشد. در این کار پژوهشی، ابررسانای  $\text{Bi}_{1/7}\text{Pb}_{1/2}\text{Sr}_{1/17}\text{Ca}_{2/7}\text{Cu}_{2/1}\text{O}_y$  به روش سل-ژل ساخته شد و اثر ناخالصی  $\text{WO}_2$  و  $\text{MnO}_2$  بر خواص ابررسانایی آن بررسی شد.

## روش آزمایش

دو محلول متفاوت، یکی محلول پایه و دیگری محلول مواد به شرح زیر در دو ظرف جدا آماده شدند. برای تهیه محلول مواد، نیترات مواد اولیه شامل  $\text{Ca}(\text{NO}_3)_2 \cdot 4\text{H}_2\text{O}$ ،  $\text{Pb}(\text{NO}_3)_2 \cdot 99.5\%$ ،  $\text{PR}_{99.8\%}$ ،  $\text{Sr}(\text{NO}_3)_2 \cdot 98\%$  و  $\text{Cu}(\text{NO}_3)_2 \cdot 2\text{H}_2\text{O}$

Bi(NO<sub>3</sub>)<sub>2</sub>.5H<sub>2</sub>O٪/۹۸ در ۵۰۰ cc محلول اسید نیتریک رقیق و آب یون‌زدایی شده، حل شدند.

همراه با تهیه محلول مواد، محلول اسیدی پایه نیز با حل کردن اسید EDTA (۶٪/۹۹.۴) با خلوص محصولات شرکت Merck به نسبت مولی برابر با تعداد کل کاتیونها، همراه با اتیلن گلیکول (EG) به نسبت مولی ۳ برابر کل کاتیونها در ۵۰۰ cc آب، یون‌زدایی شده و آمونیاک (NH<sub>3</sub>٪/۲۴) آماده شد. مقداری بیشتر اتیلن گلیکول باعث کاهش نامناسب PH و نیز افزایش درصد ناخالصی کریں در محصولات می‌شود. برای قلایایی ساختن محیط به نحوی که EDTA در آن حل پذیر باشد، مقدار ۷۵ cc آمونیاک به تدریج به آن اضافه شد. باید توجه داشت که کاهش بیش از حد PH محلول، موجب اسیدی‌شدن محیط و لذا تهنشینی EDTA خواهد شد.

پس از آماده‌شدن محلولهای اولیه، در حالی که محلول پایه در دمای ۶۰°C به آرامی با همزن مغناطیسی هم‌زده می‌شد، محلول مواد به صورت قطره قطره و با آهنگ تقریبی ۱۰۰ قطره بر دقیقه به آن اضافه شد. بررسی مداوم PH محیط نشان داد که برای جلوگیری از ته نشستی EDTA، اندازه PH محلول باستی با آمونیاک همواره کمی بزرگتر از ۳ نگه‌داشته شود. پس از اتمام این فرایند، حالت ژله‌ای در محلول نهایی به خوبی قابل رویت بود. سپس، اوره نیز به نسبت مولی ۷٪ برابر کل کاتیونها به این ژل اضافه شد.

از آنجا که گرمادهی از قاعده بشر برای افزایش دما به مقداری بالاتر از ۱۰۰°C موجب ته‌نشینی شدید ژل بر کف داغ بشر می‌شود که با توجه به حضور آمونیاک خط‌زنگ است، لذا برای خشک‌کردن ژل از یک حمام روغن استفاده شد تا ژل از همه جهت گرمادهی شود. با این حمام، می‌توان ژل را به آرامی و بدون ته نشست قابل توجه در دمای ۲۰۰°C گرماده کرد. بدین ترتیب، ژل پس از ۹۶ ساعت به طور کاملاً همگن خشک شد. مراحل ساخت نمونه‌ها در شکل ۱ نشان داده شده‌اند.

ترکیب فازی نمونه‌ها با استفاده از پراش پرتو X با تابش Cu- $\kappa\alpha$  مورد بررسی قرار گرفت. قلمهای پراشی با نرم‌افزار Celref تحلیل شدند. برای بررسی احتمال نفوذ اتمهای ناخالصی W<sup>6+</sup> و Mn<sup>4+</sup> به درون شبکه بلوری ابرسانا، الگوهای پراش پرتو X از ساختارهای بلوری ۲۲۲۲ و ۲۲۱۲ که برخی از جایگاه‌ای شیکه‌ای آنها به W و Mn اختصاص داده شده بود، با استفاده از نرم‌افزار Poudrix شبیه‌سازی شد. هر دو نرم‌افزار از محصولات مؤسسه تحقیقاتی LMGP گرونوبیل فرانسه هستند. ریزساختار نمونه‌ها با میکروسکوپ الکترونی رویشی (SEM) که مجهز به تحلیل گر عنصری EDX است در آزمایشگاه مرکزی دانشگاه فردوسی مشهد بررسی شد.

## اثر $WO_3$ و $MnO_2$ بر ابرساناهای دمای بالای ... Bi-۲۲۲۳

۴۱۷

چگالی جرمی نمونه‌های قرصی شکل، با اندازه‌گیری جرم و ابعاد آنها با دقتهای  $1\text{ gr}/0.01\text{ min}$  تعیین شد. ویژگی ابرسانایی نمونه‌های حاصل با مشاهده اثر مایسنسن تأیید شد. وابستگی دمایی مقاومت الکتریکی نمونه‌ها به روش چارسوزنی و با استفاده از منبع جریان ثابت  $140\text{ mA}$  اندازه‌گیری شد.

برای اندازه‌گیری چگالی جریان بحرانی نمونه‌ها در دمای  $K77$ ، نمونه‌هایی استوانه‌ای شکل به قطر حدود  $3\text{ mm}$  و ارتفاع  $18\text{ mm}$  از بدنده قرصهای اصلی برش زده شد. آنگاه دو اتصال الکتریکی در مقطع این استوانه‌ها ایجاد و منحنی ولتاژ-جریان آنها در دمای  $K77$  با اعمال تپهای جریان  $3\text{ A}/0.3\text{ ثانیه‌ای}$  رسم شد.

تهیه محلول مواد	
a) $Bi(NO_3)_3 \cdot 5H_2O$ : ۴۶/۰۸ gr	b) $Cu(NO_3)_2 \cdot 3H_2O$ : ۰/۰۷۴ gr
c) $Sr(NO_3)_2$ : ۲۲/۰۸ gr	d) $Pb(NO_3)_2$ : ۰/۰۷۰ gr
e) $Ce(NO_3)_3 \cdot 4H_2O$ : ۲۲/۰۸ gr	
۱- انتخاب مواد اولیه برای تهیه $5\text{ g}$ کرم فاز ۲۲۲۳ به صورت زیر:	
۲- حل کردن مواد اولیه در محلول $50\text{ cc}$ آب و $10\text{ cc}$ اسید نیتریک.	
۳- محلول سازی مواد فرق در دمای $20^\circ C$ همراه با هم زدن.	
۴- افزودن $25\text{ cc}$ آمونیاک برای تنظیم pH در مقادیر بزرگتر از $3$ و چلوگیری از رسوب EDTA.	
۵- افزودن $2/058\text{ g}$ اوره.	

تهیه ذل

۱- اضافة کردن محلول مواد به محلول با به صورت قطره همراه با هم زدن در دمای  $20^\circ C$  با سرعت  $2\text{ سی در دقیقه}$

۲- افزودن  $230\text{ cc}$  آسید نیتریک برای تنظیم pH در مقادیر بزرگتر از  $3$  و چلوگیری از رسوب EDTA.

۳- افزودن  $2/058\text{ g}$  اوره.

خشک کردن

۱- قطع هم زدن و ادامه گرمادهی در حمام رugen در دمای  $200^\circ C$  تا  $200^\circ C$  خشک شود.

۲- گرمادهی در دمای  $400^\circ C$  به مدت  $1\text{ h}$ .

۳- آسیاب کاری در هاون دستی به مدت  $20\text{ دقیقه}$ .

کلسینته کردن

۱- فواره ادن پودرهای در کوره و افزایش دما تا  $600^\circ C$  با  $15^\circ C/\text{Min}$  تا  $15^\circ C/\text{Min}$  با آهنج  $A5$  و نگهداری در این دمای به مدت  $17\text{ h}$ .

۲- سردسازی نمونه تا دمای اثاث همراه با کوره خاموش.

در لین مرحله پودرهای  $5\text{ g}$  قسمت مسلوی تقسیم شدند و به میزان  $0.05\text{ g}$  در سد وزنی  $WO_3$  یا  $MnO_2$  به آنها اضافه شد.

تجهیزی اول

۱- فشرده‌سازی تحت فشار  $180\text{ MPa}$  در قالب استوانه‌ای به قطر  $18\text{ mm}$  در دمای  $200^\circ C$  با  $15^\circ C/\text{Min}$  تا  $15^\circ C/\text{Min}$  با آهنج  $A5$  و بازگشت به دمای  $-70^\circ C$  و نگهداری در این دمای به مدت  $24\text{ h}$ .

۲- سردسازی سریع نمونه از  $200^\circ C$  تا  $85^\circ C$  و سپس از  $85^\circ C$  تا  $65^\circ C$  تا  $65^\circ C$  با آهنج  $A5$  و نگهداری در این دمای به مدت  $1\text{ h}$ .

تجهیزی دوم

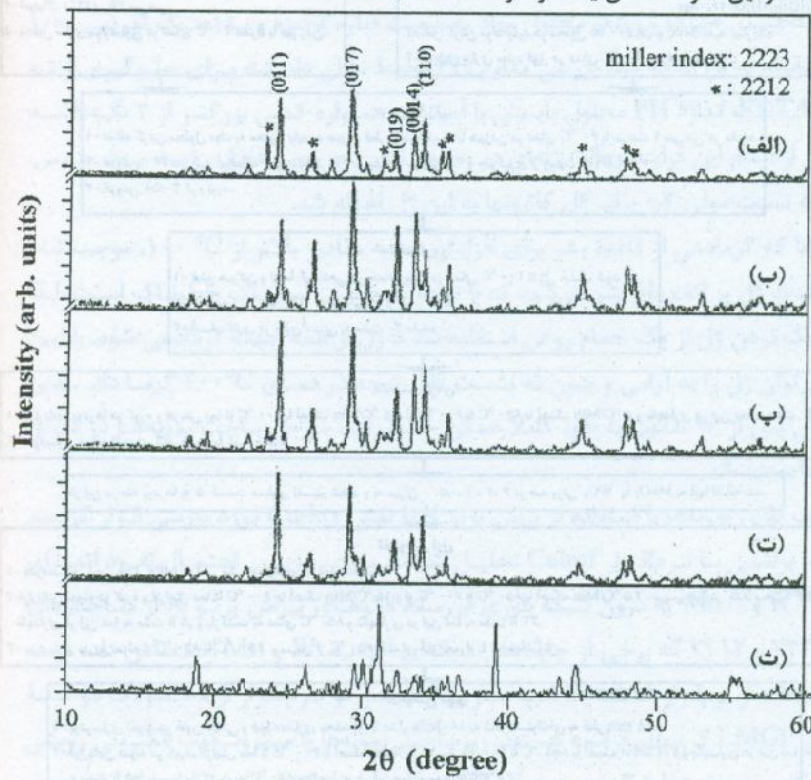
۱- پودرسازی نمونه در هاون دستی و فشرده‌سازی مجدد آن با فشار  $180\text{ MPa}$  به شکل استوانه‌ای به قطر  $18\text{ mm}$  در دمای  $200^\circ C$  با آهنج  $15^\circ C/\text{Min}$  تا  $15^\circ C/\text{Min}$  با آهنج  $A5$  و از  $85^\circ C$  تا  $600^\circ C$  با آهنج  $20^\circ C/\text{Min}$  و بازگشت به دمای  $-70^\circ C$  و نگهداری در این دمای به مدت  $24\text{ h}$ .

۲- سردسازی سریع نمونه از  $200^\circ C$  تا  $85^\circ C$  و خاموش کردن کوره تا نمونه به تدریج سرد شود.

شکل ۱ مراحل ساخت نمونه‌ها.

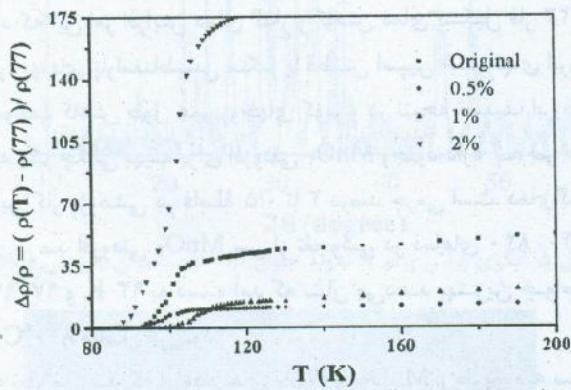
## نتایج و بحث

الگوهای پراش پرتو X از نمونه اصلی و نمونه‌های حاوی درصدهای متفاوت ناخالصی  $\text{WO}_2$  در شکل ۲ نشان داده شده‌اند. مشاهده شد که با افزودن  $\text{WO}_2$  به نمونه‌ها، تغییر چشمگیری در مکان قله‌های پراشی مربوط به فاز ۲۲۱۲ و ۲۲۲۳ به وجود نمی‌آید. در ضمن قله‌هایی که وجود فاز  $\text{WO}_2$  مجزا را در نمونه‌ها نشان دهند، وجود ندارند. بنابراین می‌توان گفت که تنگستن بیشتر وارد دانه‌های فاز ابررسانا شده و با آنها واکنش شیمیایی داده است. مقایسه طرح‌های پراشی نمونه‌های مختلف نشان داد که با افزایش درصد وزنی  $\text{WO}_2$  تا ۱٪، شدت قله‌های مربوط به فاز ۲۲۲۳ افزایش می‌یابد که این امر نشان دهنده رشد بهتر ذرات این فاز است. لذا می‌توان گفت که افزایش ناخالصی تنگستن تا ۱٪ باعث کمک به تشکیل فاز ابررسانا ۲۲۲۳ می‌شود. الگوی پراش پرتو X نمونه حاوی ۰.۵٪ وزنی  $\text{WO}_2$  نشان داد که در صد فاز ۲۲۲۳ در این نمونه کاهش یافته و فاز ۲۲۱۲ غالب است.

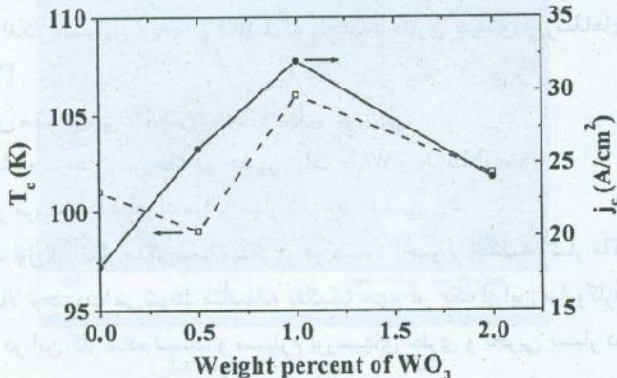


شکل ۲ الگوهای پراش پرتو X (الف) نمونه اصلی و (ب) تا (ث) نمونه‌های حاوی ۰.۵، ۱، ۲ و ۶٪ درصد وزنی افزودنی  $\text{WO}_2$ .

نتایج اندازه‌گیری مقاومت و بیژه الکتریکی نمونه‌هایی که حاوی درصدهای مختلف افزودنی  $\text{WO}_2$  بوده‌اند در شکل ۳ نشان داده شده‌اند. بررسی این نتایج نشان می‌دهد که نمونه حاوی ۱٪ افزودنی، بالاترین دمای گذار ابرسانایی را دارد. این امر با نتیجه بالا مبنی بر این که افزایش درصد وزنی تنگستن تا ۱٪ به تشکیل فاز ابرسانا کمک می‌کند نیز سازگار است. نتایج اندازه‌گیری چگالی جریان در ۷۷ K نشان داد که با افزایش درصد  $\text{WO}_2$  تا ۱٪، چگالی جریان بحرانی افزایش و سپس کاهش می‌یابد (شکل ۴). به نظر می‌رسد که ذرات  $\text{WO}_2$  نقش مراکز مهار شار میدان مغناطیسی حاصل از جریان‌های الکتریکی که مایل به تخریب ابرسانایی هستند را در سطح حوزه‌ها بر عهده دارند و لذا چگالی جریان بحرانی را افزایش می‌دهند. این در حالی است که افزایش مقدار ناخالصی به بیش از ۰.۲٪ وزنی، سبب نفوذ فزاینده یونهای  $\text{W}^{+6}$  به درون فاز ابرسانا و تخریب این فاز می‌شود به نحوی که در اندازه‌گیری‌های انجام شده تا دمای ۷۷ K هیچ فاز ابرسانایی در نمونه حاوی ۰.۶٪ وزنی  $\text{WO}_2$  مشاهده نشد.



شکل ۳ واپستگی دمایی مقاومت و بیژه الکتریکی نمونه‌های حاوی درصدهای متفاوت  $\text{WO}_3$ .



شکل ۴ تغییرات دمای گذار و چگالی جریان بحرانی با درصد وزنی  $\text{WO}_2$ .

شکل ۵ طرح پراش پرتو X نمونه حاوی ۵٪ درصد وزنی افزودنی  $MnO_2$  را نشان می‌دهد. نمونه‌های دیگر از این خاتواده که حاوی بیش از ۲ درصد وزنی  $MnO_2$  بودند، در مرحله تفجوشی ذوب شدند که نشان‌دهنده کاهش چشمگیر دمای تشکیل فاز ابررسانا در حضور ناخالصی منگنز بود. طرح پراش شکل ۵ نشان می‌دهد که نمونه متشکل از دو فاز ۲۲۲۳ و ۲۲۱۲ است. از مقایسه سطح زیر شدیدترین قلهای پراشی، نسبت فاز ۲۲۲۳ به ۲۲۱۲ حدود ۱/۱۷ برابر می‌شود. پس از مقایسه این الگوی پراشی با ساختار راستگوشه با نرم افزار Celref، ثابت‌های شبکه‌ای  $a = ۵,۴۹۲۹$ ،  $b = ۵,۳۸۴۰$ ،  $c = ۲۵,۹۸۵۵$  آنگستروم برای فاز ۲۲۲۳ و  $a = ۵,۴۱۱۰$ ،  $b = ۵,۳۸۲۶$ ،  $c = ۳۰,۳۴۳۵$  آنگستروم برای فاز ۲۲۱۲ بدست آمدند.

نتایج قبلی نشان می‌دهند که یون  $Mn^{+3(4)}_{Cl^-}$  جانشین یون  $Cl^-$  با شعاع بزرگتر و بار الکتریکی کمتر در شبکه بلوری فاز ابررسانا می‌شود [۱۳]. جانشینی جزئی یونی با شعاع کوچکتر و بار الکتریکی بیشتر موجب افزایش نیروی کولونی بین کاتیون و آئیون و کاهش پارامتر  $a$  می‌شود که این امر افزایش دمای گذار و کاهش دمای تشکیل فاز ۲۲۲۳ را به دنبال دارد. از دیگر سو، یونهای پارامغناطیسی منگنز با قطبش اسپین الکترونها ابررسانشی مجاور خود می‌توانند موجب کاهش طول عمر زوجهای کوپر و در نتیجه تضعیف ابررسانایی شوند. لذا می‌توان گفت که یک چگالی بهینه برای افزودنی  $MnO_2$  وجود دارد که بر اساس نتایج به دست آمده در این کار پژوهشی در فاصله ۰/۵ تا ۲ درصد جرمی است. دمای گذار ابررسانایی در نمونه حاوی ۵٪ درصد افزودنی  $MnO_2$  پس از تفجوشی در دماهای ۸۴۰، ۸۳۰ و ۸۵۰ °C به ترتیب برابر با ۹۶، ۹۷ و K ۹۳ به دست آمد که نشان می‌دهد بهترین خواص ابررسانایی در دمای تفجوشی ۸۳۰ °C حاصل می‌شود.

به این ترتیب به نظر می‌رسد که افزودنی‌های  $WO_2$  و  $MnO_2$  از طریق سه سازوکار زیر خواص ابررسانایی را تغییر می‌دهند:

(الف) افزایش امکان تشکیل لایه‌های  $CuO$  که واحد ساختاری بنیادی ابررساناهای مسی دمای بالا هستند [۳].

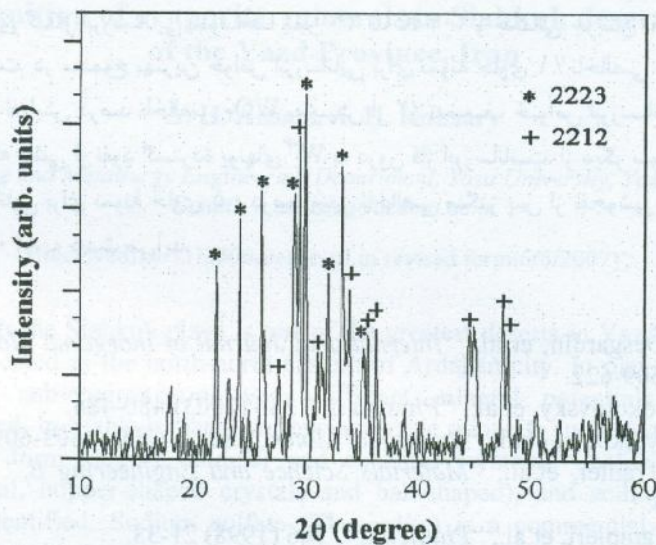
(ب) برهم‌کنش مغناطیسی با الکترونها زوجهای کوپر.

(پ) جوش بهتر حوزه‌های ابررسانا در حضور ذرات  $WO_2$  و  $MnO_2$ .

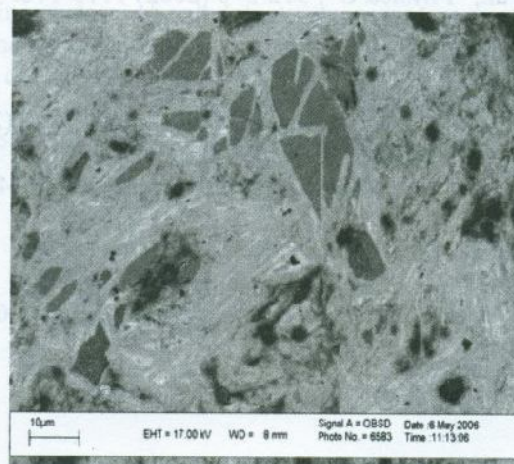
(ت) حضور در مرز دانه‌ها و ایجاد مراکز مهار شار مغناطیسی.

که دو مورد اول از آثار میکروسکوپیکی و دو مورد آخر از جمله آثار ماکروسکوپیکی افزودنی‌های بالا محسوب می‌شوند. متاسفانه تفکیک سهم هر یک از این سازوکارها در تغییرات مشاهده شده در این کار ساده نیست و مستلزم بررسیهای نظری و تجربی بسیار دقیق است.

یک مورد از تصاویر میکروسکوپ الکترونی روبشی از نمونه اصلی در شکل ۶ نشان داده شده است. زمینه خاکستری روشن در این شکل مربوط به فاز ۲۲۲۳ و خاکستری تیره مربوط به فاز ۲۲۱۲ است و مناطق سیاه رنگ مربوط به حفره‌های موجود در سطح وابسته است. دانه‌های سوزنی شکل فاز ابرسانا با ریزساختارهای حاصل از روش سل-ژل مطابقت دارند [۱۶].



شکل ۵ الگوی پراش پرتو X نمونه حاوی ۵٪ درصد وزنی افزودنی  $\text{MnO}_2$ .



شکل ۶ تصویر SEM نمونه اصلی.

## برداشت

ابرسانای  $\text{Cu}_{71}\text{O}_8$   $\text{Bi}_{1/7}(\text{Pb}_{1/7})\text{Sr}_{1/7.5}\text{Ca}_{2.0.5}$  به روش سل-ژل تهیه و اثر افزودن  $\text{WO}_3$  و  $\text{MnO}_2$  بر این ترکیبات بررسی شد. بررسی‌ها نشان می‌دهند که برای ناخالصی تنگستن، افزایش دما در مرحله تفجوشی از  $85^{\circ}\text{C}$  تا  $855^{\circ}\text{C}$  به مدت ۳۰ دقیقه و سردسازی سریع نمونه‌ها از  $85^{\circ}\text{C}$  تا  $850^{\circ}\text{C}$  به رشد و پایداری فاز ابرسانایی  $\text{WO}_3$  کمک می‌کند. در حضور این ناخالصی، دمای گذار ابرسانایی نمونه‌ها بین ۹۴ تا  $107\text{ K}$  و چگالی جریان بحرانی  $32\text{ A/cm}$  است. در مجموع بهترین خواص ابرسانایی برای نمونه حاوی ۱٪ ناخالصی  $\text{WO}_3$  به دست می‌آید. افزایش درصد ناخالصی  $\text{WO}_3$  به بیش از ۲٪ تضعیف خواص ابرسانایی را به دنبال دارد، که ناشی از نفوذ گستردۀ یونهای  $\text{W}^{+6}$  به درون فاز ابرساناست. از دیگر سو، بهترین خواص ابرسانایی برای نمونه حاوی ۵٪ درصد وزنی ناخالصی منگنز پس از تفجوشی در دمای تفجوشی  $830^{\circ}\text{C}$  به دست می‌آید.

## مراجع

- [1] G. Desgardin, et al., "International Journal of Inorganic Materials", 2 (2002) 609-622.
- [2] V. Sokolovsky, et al., "Physica C," 386 (2003) 480-484.
- [3] S. N. Ekbote, et al., "Bulltain of Mater.", Sci. 6 (2001) 603-609.
- [4] A. Trauter, et.al., "Materials Science and Engineering B," 58 (1999) 206-214.
- [5] A. Tampieri, et al., "Physica C", 306 (1998) 21-33.
- [6] M. Seki, et al., "Physica C", 412-414 (2004) 1358-1361.
- [7] A. Calleja, et al., "Physica C", 372-376 (2002) 1115-1118.
- [8] I. A. Yurchenko, et al., "Physica C", 384 (2003) 111-124.
- [9] M. V. Makarova, et al., "Physica C", 419 (2005) 61-69.
- [10] B. Zhao, et al., "Physica C", 361 (2001) 283-291.
- [11] K. Christova, et al., "J. of Alloys and Compounds", 340 (2002) 1-5.
- [12] W. Wei, et al., "Physica C", 298 (1998) 279-288.
- [13] Rou-Fan Shen, et al., "J. of Alloys and Compounds", 343 (2002) 238-242.
- [14] Y. S. Yuan, et al., "J. of Mater.", Res. 11 (1996) 18-27.
- [15] Y. S. Yuan, et al., "J. of Mater.", Res. 11 (1996) 8-17.
- [16] S. A. Halim, et al., "Materials chemistry and Physics", 61 (1999) 251-259.